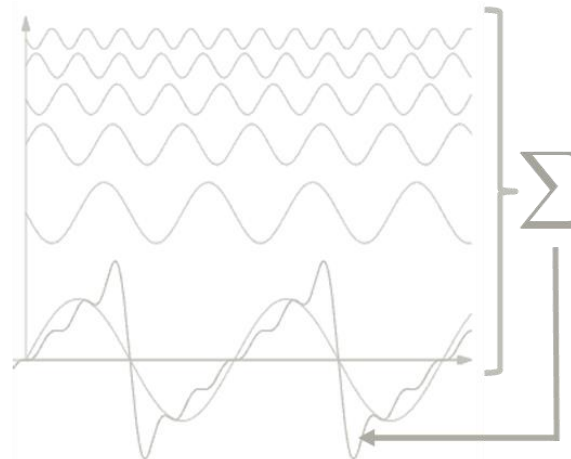


$$x(t) = \frac{a_0}{2} + \sum_{n=1}^{\infty} [a_n \cos(n\omega_0 t) + b_n \sin(n\omega_0 t)]$$

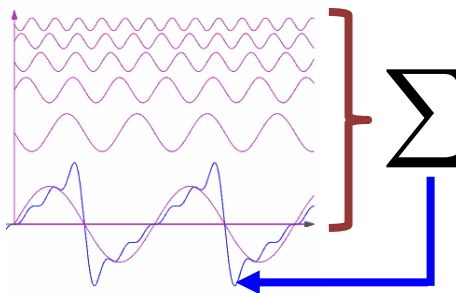


Unidad 5: Series de Fourier

● Suficiencia de las Series de Fourier ●



La importancia de las ideas propuestas por **Fourier no pasó desapercibida**, promoviendo contribuciones a su serie por parte de **S. D. Poisson** y **A. L. Cauchy**, entre otros. Si bien en **1811** se publicó su artículo en las actas de la Academia de Ciencias, la aparición de las **Condiciones de Suficiencia de Convergencia de la Serie** (en **1829**) y posteriormente del **Criterio de Integrabilidad Absoluta** (en **1837**) consolidaron por completo su credibilidad matemática. Ambos avances son el resultado de **10 años** de trabajo del matemático **Peter Gustav Lejeune Dirichlet**, estudiante de **doctorado** de **Fourier y Poisson**...



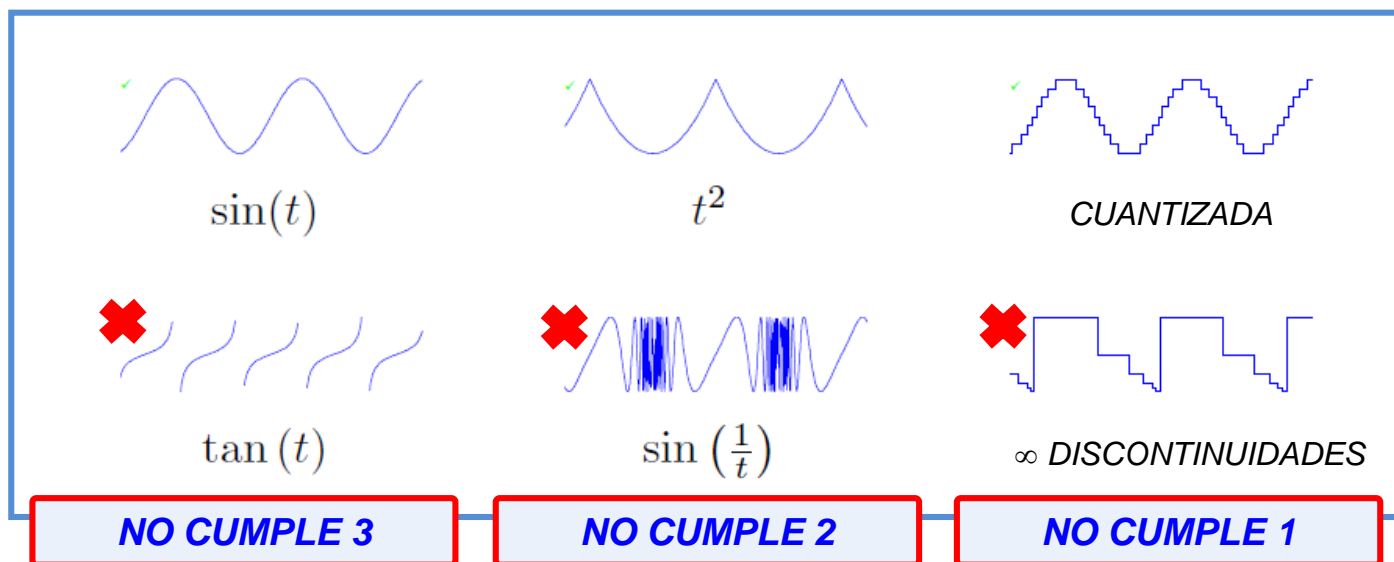
¿En qué condiciones puede asegurarse la existencia de la SdF?

La existencia de la **SdF** correspondiente a una función $x(t)$, se remite al cumplimiento de las Condiciones de Suficiencia establecidas por Dirichlet, de modo que al considerar un PERÍODO de la misma:

- (1) $x(t)$ debe presentar un **número finito** de **discontinuidades**
- (2) $x(t)$ debe presentar un **número finito** de **máximos** y **mínimos**
- (3) $x(t)$ debe presentar **ENERGÍA FINITA** : $\int_{<T_0>} |x(t)|^2 dt < \infty$



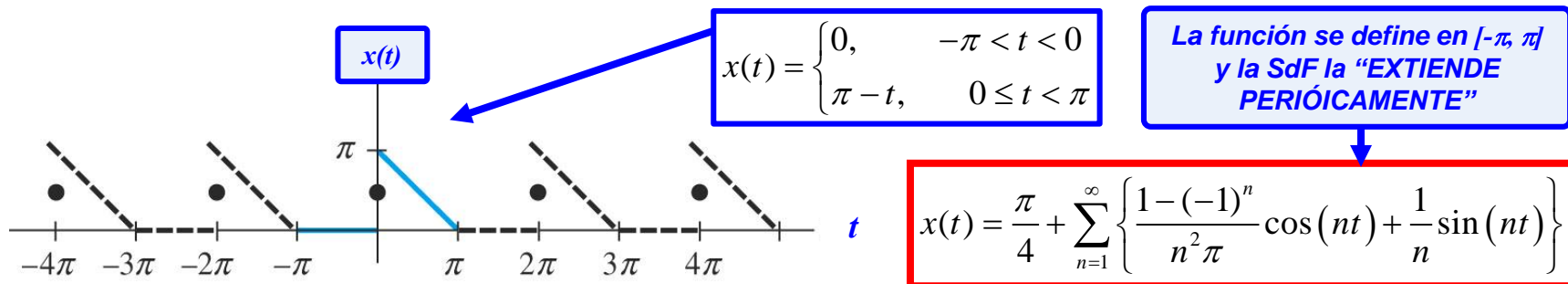
Las condiciones impuestas por Dirichlet SON SUFICIENTES PERO NO NECESARIAS. Hay FUNCIONES QUE NO LAS CUMPLEN, pero igualmente PUEDEN SER EXPRESADAS EN SdF



Si la función $x(t)$ CUMPLE con las Condiciones de Dirichlet:

- (1) La serie de Fourier **converge** a $x(t_0)$ si t_0 es un punto de **continuidad** y **se cumple** $a_n \rightarrow 0$ y $b_n \rightarrow 0$ si $n \rightarrow \infty$
- (2) La serie de Fourier converge a $[x(t_0^+) + x(t_0^-)] / 2$ si t_0 es **un punto de discontinuidad** (la mitad del salto finito)

A modo de ejemplo, puede considerarse la función $x(t)$ definida en el intervalo $(-\pi, \pi)$. Se observa que $x(t)$ **es continua** en dicho intervalo **excepto** en $t=0$, donde se advierte un salto finito:



¿Qué sucederá con la SdF en la discontinuidad $t=0$? Según las condiciones de Dirichlet, **convergerá al siguiente valor** (problema original de la función de Euler):

$$\frac{x(0^+) + x(0^-)}{2} = \frac{\pi}{2}$$

Mitad del salto entre 0 y π

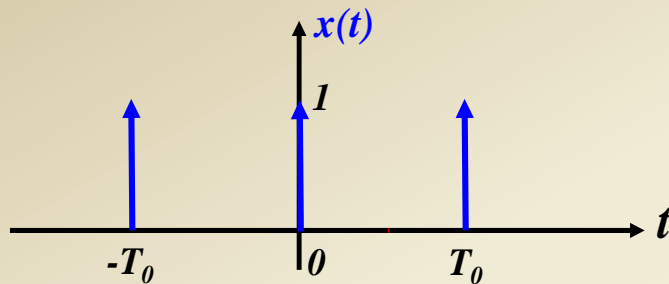
Ante la presencia de puntos de discontinuidad finitos, la SdF **CONVERGE** al **PUNTO MEDIO** de los mismos. De modo que la representación de $x(t)$ presentará los valores $x(t_0) = \pi/2$ en $t_0 = 2k\pi$ ($k = \pm 1, \pm 2, \pm 3 \dots$)

Unidad 5: Series de Fourier

Ejemplo Práctico

Análisis de Señales y
Sistemas R2041

Ejemplo: Obtener la expresión en **SdF** correspondiente al siguiente **“Tren de Impulsos periódico”** $x(t)$:



$$x(t) = \delta(t) \quad \text{si} \quad -\frac{T_0}{2} < t < \frac{T_0}{2}$$
$$x(t) = \sum_{n=-\infty}^{\infty} \delta(t - nT_0)$$

El tren de impulsos periódico **NO CUMPLE CON EL REQUISITO DE CUADRADO INTEGRABLE** en un período

Habida cuenta de que la señal $x(t)$ es una **función par**, **sólo es necesario determinar coeficientes** a_n :

$$a_n = \frac{2}{T_0} \int_{<T_0>} x(t) \cos(n\omega_0 t) dt = \frac{2}{T_0} \int_{-T_0/2}^{T_0/2} \delta(t) \cos(n\omega_0 t) dt = \frac{2}{T_0} \int_{-T_0/2}^{T_0/2} 1 \cdot \delta(t) dt = \frac{2}{T_0}$$

$$a_0 = \frac{2}{T_0} \int_{<T_0>} x(t) dt = \frac{2}{T_0} \int_{-T_0/2}^{T_0/2} \delta(t) dt = \frac{2}{T_0}$$

$$x(t) = \frac{1}{T_0} + \sum_{n=1}^{\infty} \frac{2}{T_0} \cos(n\omega_0 t)$$

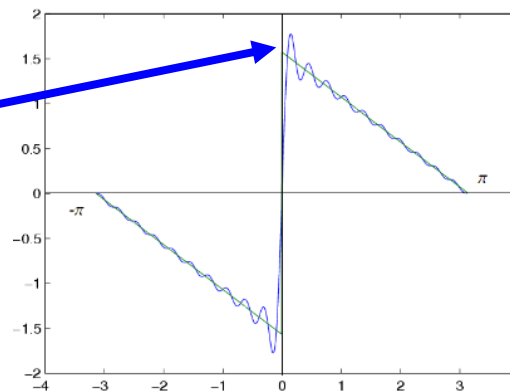
A pesar de no cumplir con DIRICHLET, se obtuvo la expresión en SdF

La Suma Finita y el Fenómeno de Gibbs

Si la **SdF** de una función $x(t)$ **se trunca** en un número de términos **finito** ($n=N$) de modo de lograr una **aproximación en suma finita** S_N de senos y cosenos, **es natural pensar que a medida que se incorporen armónicas, la sumatoria convergerá hacia $x(t)$...**



Dicha situación **SE CUMPLE EXCEPTO EN LA VECINDAD DE LAS DISCONTINUIDADES** de $x(t)$ (si las tiene), en donde el error de la suma finita **NO TIENDE A ANULARESE** a medida que se adicionan nuevas armónicas: **APARECE un SOBREPICO** levemente superior al máximo...



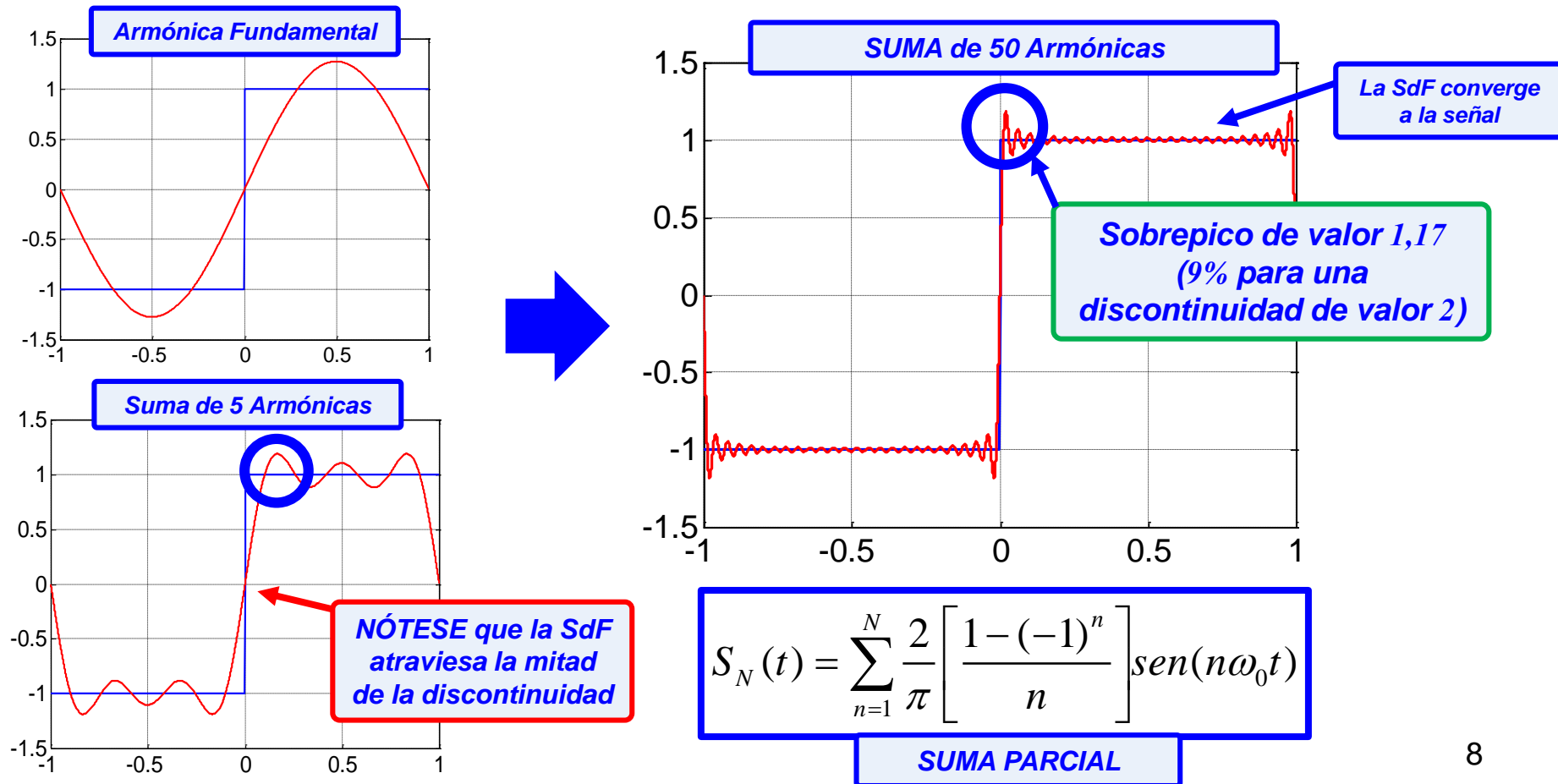
Este fenómeno fue observado por el físico experimental **ALBERT MICHELSON**, quien en 1898 construyó un dispositivo para **SINTETIZAR** series de Fourier (denominado analizador armónico). Michelson advirtió que en la cercanía de las discontinuidades de las funciones siempre aparecían **SOBREPICOS** (ajenos a la función original), los cuáles **NO SE REDUCÍAN POR MUCHO QUE SE INCREMENTARA** el número de sumandos de la serie (el dispositivo admitía hasta 80 de ellos)...

Unidad 5: Series de Fourier

Fenómeno de Gibbs

Análisis de Señales y
Sistemas R2041

Tomando como ejemplo la **SdF** de una **señal cuadrada** de amplitud ± 1 , se observa al llevar a cabo su **Suma Parcial** S_N :



Unidad 5: Series de Fourier

Fenómeno de Gibbs

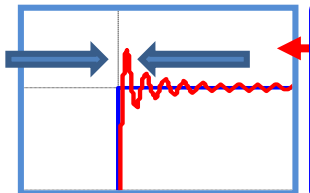
Análisis de Señales y
Sistemas R2041

Este sobrepico de **1,17** generado **en la vecindad** de la discontinuidad de **amplitud 2** (como consecuencia del uso de una **Serie Finita** S_N) se conoce como **“Fenómeno de Gibbs”**, debido a su confirmación matemática por el físico **Josiah Willard Gibbs** en **1899**. Analizando entonces la **suma parcial** $S_N(t)$ y considerando un período $T_0=2\pi$ (por simplicidad) se obtiene:

$$x(t) = \sum_{n=1}^{\infty} \frac{2}{\pi} \left[\frac{1 - (-1)^n}{n} \right] \text{sen}(nt) \Rightarrow S_N(t) = \sum_{n=1}^N \frac{2}{\pi} \left[\frac{1 - (-1)^n}{n} \right] \text{sen}(nt)$$

Puede demostrarse **analíticamente** que el **sobrepico** se ubica en **$t=\pi/2N$** por lo que:

$$\lim_{N \rightarrow \infty} S_N \left(\frac{\pi}{2N} \right) = \frac{2}{\pi} S_i(\pi) \approx 1,17 \quad \text{donde } S_i(t) = \int_0^t \frac{\text{sen}(\tau)}{\tau} d\tau$$



A MEDIDA QUE SE INCORPORAN ARMÓNICAS, la oscilación SE COMPRIME HACIA LA DISCONTINUIDAD (pero se mantiene constante) y su ANCHURA (ENERGÍA) TIENDE A ANULARSE, VALIDANDO LA REPRESENTACIÓN EN SERIE DE FOURIER Y SU APLICACIÓN EN SISTEMAS LTI (la POTENCIA CONVERGE a la de la función original, si bien el sobrepico NO DESAPARECE aún en $N=\infty$)

Unidad 5: Series de Fourier Aplicación en MatLab

Análisis de Señales y Sistemas R2041

APROXIMACIÓN DE LOS COEFICIENTES

```
function [a0,an,bn]=STF(t,x,T0,N)
w0=2*pi/T0;
Ts=t(2)-t(1);
an=zeros(1,N);
bn=zeros(1,N);
for n=1:N
    an(n)=(2/T0)*sum(x.*cos(n*w0*t))*Ts;
    bn(n)=(2/T0)*sum(x.*sin(n*w0*t))*Ts;
end
a0=(2/T0)*sum(x)*Ts;
```

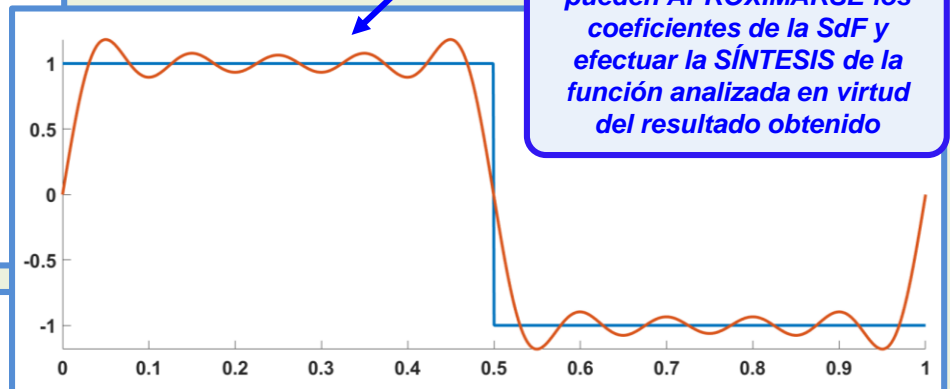
SÍNTESIS

```
function [x]=ISTF(t,a0,an,bn,T0)
w0=2*pi/T0;
N=length(an);
x=a0/2+zeros(size(t));
for n=1:N
    xn=an(n)*cos(n*w0*t)+bn(n)*sin(n*w0*t);
    x=x+xn;
end
```

ANÁLISIS

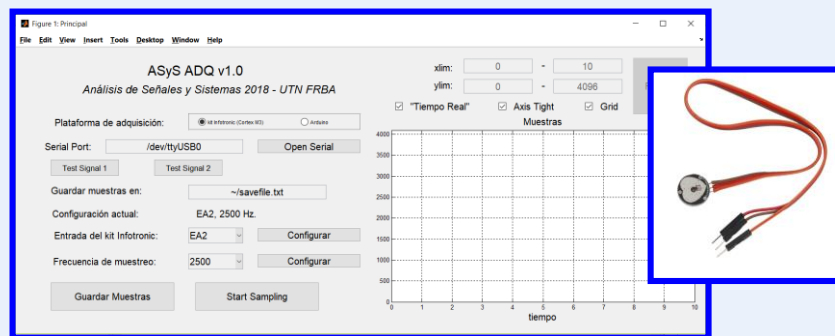
```
%COEFICIENTES en SdF
%Descripción de 1 PERÍODO
t=0:0.001:1;
x=escalon(t)-2*escalon(t-0.5);
%Obtención de los Coeficientes
[a0,an,bn]=STF(t,x,1,10);
```

```
%SÍNTESIS
xs=ISTF(t,a0,an,bn,1);
plot(t,x,t,xs); axis tight;
```



Consigna de la clase #B (APLICACIÓN)

1. Utilizar la **plataforma de adquisición de señales ASyS ADQ** (ver *instructivo campus virtual*) de modo de obtener mediciones provenientes un **sensor fotopletimográfico**, el cual cuantifica variaciones de **flujo sanguíneo** en el dedo índice.

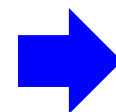


2. Efectuar un análisis por **SdF** de la señal obtenida en **MatLab** (aproximando los valores de sus coeficientes) y **sintetizar la misma** para **distinta** cantidad de componentes **¿Qué efecto se observa? ¿Para qué podría ser de utilidad?**

Unificando componentes de la serie: La SdF “Armónica”

Teniendo en consideración la expresión de la **serie trigonométrica**, constituida por una **sumatoria de funciones coseno y seno de amplitud** a_n y b_n , respectivamente, resulta factible expresar la misma **de una manera ligeramente diferente**:

$$x(t) = \frac{a_0}{2} + \sum_{n=1}^{\infty} a_n \cos(n\omega_0 t) + b_n \sen(n\omega_0 t)$$



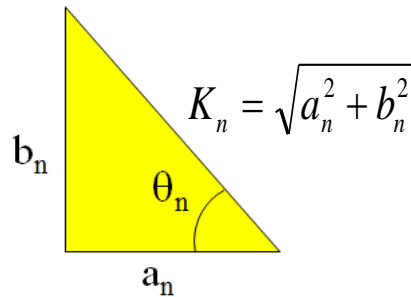
$$x(t) = \frac{a_0}{2} + \sum_{n=1}^{\infty} S_n$$

donde multiplicando y dividiendo S_n por $\sqrt{a_n^2 + b_n^2}$ se obtiene:

$$S_n = \sqrt{a_n^2 + b_n^2} \left(\frac{a_n}{\sqrt{a_n^2 + b_n^2}} \cos(n\omega_0 t) + \frac{b_n}{\sqrt{a_n^2 + b_n^2}} \sen(n\omega_0 t) \right)$$

La función S_n define cada
aporte frecuencial $n\omega_0$

Considerando entonces que:



$$K_n = \sqrt{a_n^2 + b_n^2}$$

$$\left\{ \begin{array}{l} \frac{a_n}{\sqrt{a_n^2 + b_n^2}} = \cos \theta_n \\ \frac{b_n}{\sqrt{a_n^2 + b_n^2}} = \sin \theta_n \end{array} \right. \quad \theta_n = \arctan \left(\frac{b_n}{a_n} \right)$$

se advierte que la función S_n puede expresarse sólo en términos de la función coseno:

$$S_n = K_n [\cos \theta_n \cos(n\omega_0 t) + \sin \theta_n \sin(n\omega_0 t)] \quad \Rightarrow \quad S_n = K_n \cos(n\omega_0 t - \theta_n)$$

Definiendo ahora $K_0 = a_0/2$, la “**Serie Armónica**” puede expresarse como:

$$x(t) = K_0 + \sum_{n=1}^{\infty} K_n \cos(n\omega_0 t - \theta_n)$$

$$K_0 = a_0 / 2 \quad K_n = \sqrt{a_n^2 + b_n^2} \quad \theta_n = \arctan(b_n / a_n)$$

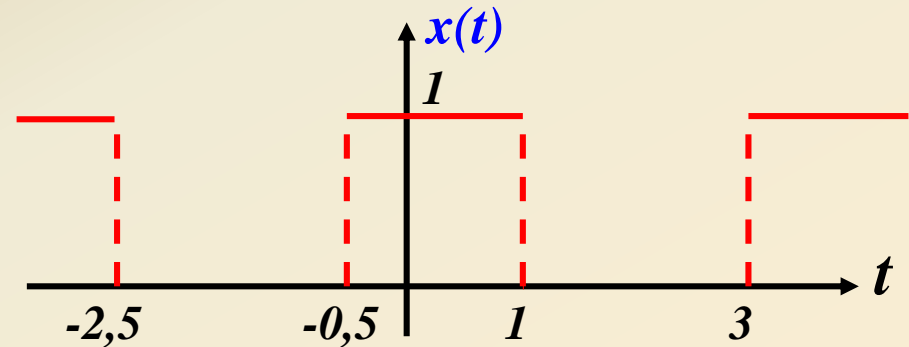
La expresión en **SERIE ARMÓNICA DE FOURIER** de una señal $x(t)$ se encuentra constituida únicamente por **FUNCIONES COSENO** (sinusoides) **ESCALADAS** (K_n) y **DESPLAZADAS** (θ_n), de **FRECUENCIA MÚLTIPLO DE LA FUNDAMENTAL**

Unidad 5: Series de Fourier

Ejemplo Práctico

Ejemplo: Obtener la expresión en **Serie Armónica de Fourier** correspondiente a la siguiente señal **periódica** $x(t)$:

$$x(t) = \begin{cases} 1 & \text{si } -0,5 < t < 1 \\ 0 & \text{si } 1 < t < 3 \\ T_0 = 3,5s \end{cases}$$



Los coeficientes de la **SdF Armónica** corresponden a:

$$x(t) = K_0 + \sum_{n=1}^{\infty} K_n \cos(n\omega_0 t - \theta_n)$$

$$K_0 = a_0 / 2$$

$$K_n = \sqrt{a_n^2 + b_n^2}$$

$$\theta_n = \arctan(b_n / a_n)$$

de modo que resulta necesario determinar **en primer lugar** los coeficientes de la **SdF** trigonométrica:

Unidad 5: Series de Fourier

Ejemplo Práctico

Análisis de Señales y Sistemas R2041

$$a_0 = \frac{2}{T_0} \int_{\langle T_0 \rangle} x(t) dt = \frac{2}{3,5} \int_{-0,5}^1 1 dt = 0,857 \quad \text{y donde} \quad \omega_0 = \frac{2\pi}{3,5} = 1,7952$$

Al no existir ningún tipo de PARIDAD en $x(t)$, se obtienen valores NO NULOS de los coeficientes a_n y b_n

$$a_n = \frac{2}{T_0} \int_{\langle T_0 \rangle} x(t) \cos(n\omega_0 t) dt = \frac{2}{3,5} \int_{-0,5}^1 1 \cdot \cos(n\omega_0 t) dt = \frac{2}{3,5n\omega_0} [\text{sen}(n\omega_0) + \text{sen}(0,5n\omega_0)]$$

$$b_n = \frac{2}{T_0} \int_{\langle T_0 \rangle} x(t) \text{sen}(n\omega_0 t) dt = \frac{2}{3,5} \int_{-0,5}^1 1 \cdot \text{sen}(n\omega_0 t) dt = \frac{2}{3,5n\omega_0} [\cos(0,5n\omega_0) - \cos(n\omega_0)]$$

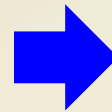
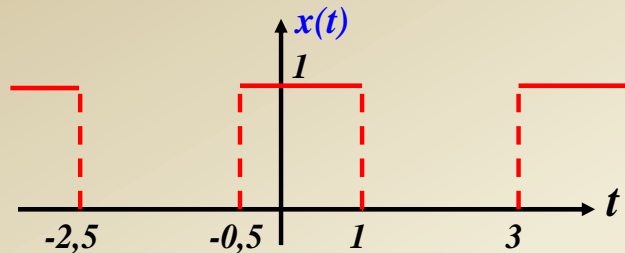
y los coeficientes de la **Serie Armónica** entonces resultan:

$$K_0 = a_0 / 2 = 0,4285$$

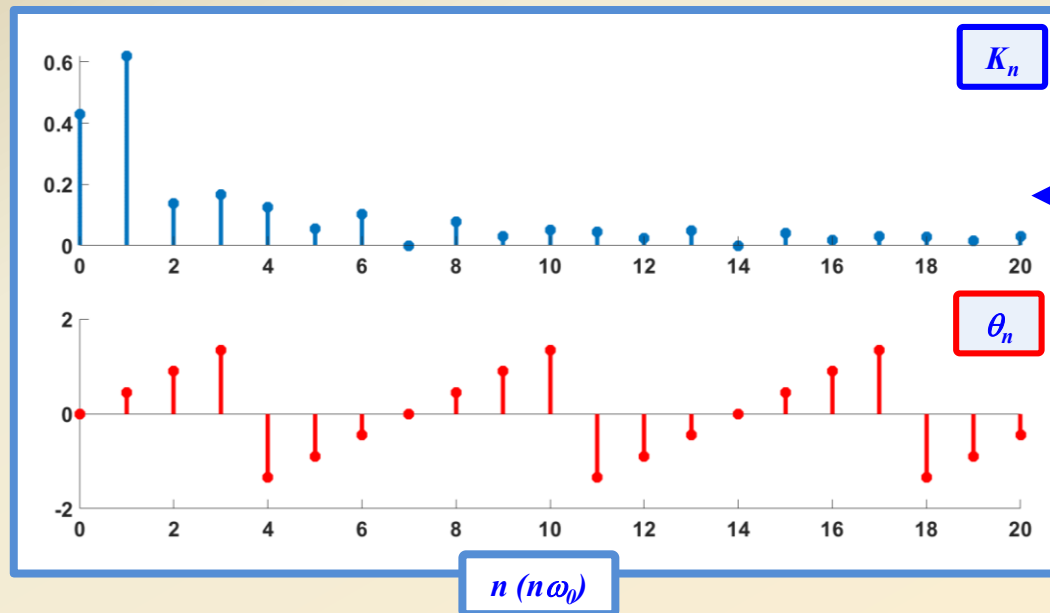
$$K_n = \sqrt{a_n^2 + b_n^2} = \frac{2}{3,5n\omega_0} \sqrt{[\text{sen}(n\omega_0) + \text{sen}(0,5n\omega_0)]^2 + [\cos(0,5n\omega_0) - \cos(n\omega_0)]^2}$$

$$\theta_n = \arctan ([\cos(0,5n\omega_0) - \cos(n\omega_0)] / [\text{sen}(n\omega_0) + \text{sen}(0,5n\omega_0)])$$

y donde finalmente, el **Espectro de Frecuencias** resulta:



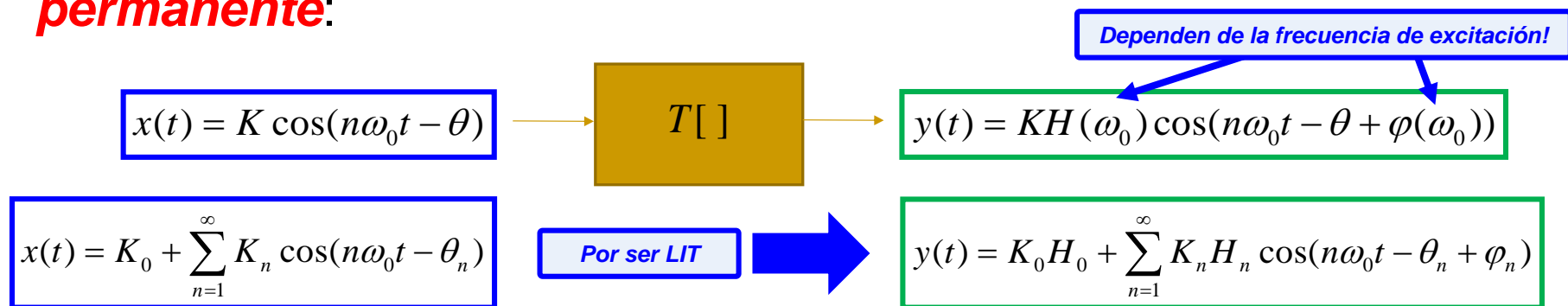
$$x(t) = K_0 + \sum_{n=1}^{\infty} K_n \cos(n\omega_0 t - \theta_n)$$



El ESPECTRO DE FRECUENCIAS de la Serie Armónica constituye un gráfico que conjuga en un ÚNICO VALOR la AMPLITUD de CADA ARMÓNICA (K_n) junto con su FASE correspondiente. FACILITA LA IDENTIFICACIÓN del APOORTE ENERGÉTICO DE CADA COMPONENTE DE FRECUENCIA

Series de Fourier y Sistemas LIT en Régimen Permanente

Si bien la relación específica entre los sistemas **LIT** y la **SdF** se abordará en profundidad en **apartados futuros**, puede anticiparse el comportamiento de la **respuesta $y(t)$** ante una **excitación sinusoidal $x(t)$** , una vez que el **sistema ha entrado en régimen permanente**:



En RÉGIMEN PERMANENTE, los SISTEMAS LIT responden con SINUSOIDES ante EXCITACIONES SINUSOIDALES de igual frecuencia (se demuestra en términos de la convolución). Dicha excitación de frecuencia ω_0 ve afectada su AMPLITUD (es multiplicada por un factor $H(\omega_0)$) y su fase (se le adiciona un valor $\varphi(\omega_0)$). Habida cuenta del carácter LIT del sistema, a una SdF DE EXCITACIÓN le corresponderá UNA SdF COMO RESPUESTA

Potencia Promedio ¿Cómo contribuye cada componente?

El **Teorema de Parseval** posibilita la obtención de la **Potencia Promedio** correspondiente a la función periódica $x(t)$ **a partir de los coeficientes de su SdF**:

$$x(t) = \frac{1}{2} a_0 + \sum_{n=1}^{\infty} [a_n \cos(n\omega_0 t) + b_n \sen(n\omega_0 t)]$$

Efectuando entonces la integral **en un período** correspondiente a $x^2(t)$ (determinación de su potencia promedio) y reemplazando $x(t)$ por su expresión en **SdF** se obtiene:

$$P = \frac{1}{T_0} \int_{-T_0/2}^{T_0/2} x(t)x(t)dt = \frac{1}{T_0} \int_{-T_0/2}^{T_0/2} x(t) \left\{ \frac{1}{2} a_0 + \sum_{n=1}^{\infty} [a_n \cos(n\omega_0 t) + b_n \sen(n\omega_0 t)] \right\} dt$$

El teorema ES APLICABLE siempre y cuando $x(t)$ **RESULTE DE CUADRADO INTEGRABLE EN UN PERÍODO**

$$P = \underbrace{\frac{a_0}{2} \frac{1}{T_0} \int_{-T_0/2}^{T_0/2} x(t) dt}_{\frac{a_0}{2}} + \sum_{n=1}^{\infty} \underbrace{a_n \frac{1}{T_0} \int_{-T_0/2}^{T_0/2} x(t) \cos(n\omega_0 t) dt}_{\frac{a_n}{2}} + \sum_{n=1}^{\infty} \underbrace{b_n \frac{1}{T_0} \int_{-T_0/2}^{T_0/2} x(t) \sin(n\omega_0 t) dt}_{\frac{b_n}{2}}$$

Por lo que finalmente, la expresión de la **potencia promedio en términos de los coeficientes de la SdF** queda expresada como:

$$\frac{1}{T_0} \int_{-T_0/2}^{T_0/2} |x(t)|^2 dt = \frac{1}{4} a_0^2 + \frac{1}{2} \sum_{n=1}^{\infty} (a_n^2 + b_n^2)$$

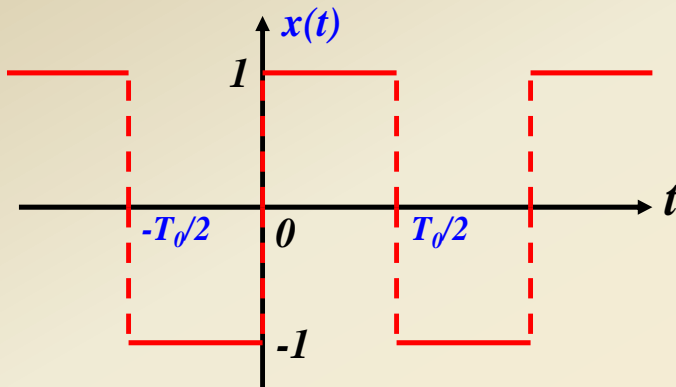
Efectivamente, La POTENCIA una señal $x(t)$ SE DISTRIBUYE EN LOS COEFICIENTES DE SU SERIE DE FOURIER. Observar que cada función seno o coseno aporta una potencia de $a_n^2/2$ o $b_n^2/2$ (potencia de una senoide) mientras que la constante $a_0/2$ aporta $a_0^2/4$

Unidad 5: Series de Fourier

Ejemplo Práctico

Análisis de Señales y
Sistemas R2041

Ejemplo: Determinar el **porcentaje de la potencia total** de la señal $x(t)$, representado por la combinación de sus **tres primeras armónicas no nulas** (considerando además su componente estable):



$$x(t) = \frac{2}{\pi} \sum_{n=1}^{\infty} [1 - (-1)^n] \text{sen}(n\omega_0 t)$$
$$x(t) = \frac{4}{\pi} \left[\text{sen}(\omega_0 t) + \frac{1}{3} \text{sen}(3\omega_0 t) + \frac{1}{5} \text{sen}(5\omega_0 t) + \dots \right]$$

En el dominio temporal, **la potencia promedio P** de $x(t)$ resulta:

$$P = \frac{1}{T_0} \int_{-T_0/2}^{T_0/2} [x(t)]^2 dt \quad \rightarrow \quad P = \frac{1}{T_0} \int_{-T_0/2}^{T_0/2} 1 dt = \frac{1}{T_0} t \Big|_{-T_0/2}^{T_0/2} = \frac{1}{T_0} T_0 = 1$$

y considerando sus **componentes frecuenciales**:

$$P = \frac{a_0^2}{4} + \sum_{n=1}^{\infty} \frac{1}{2} (a_n^2 + b_n^2)$$

Conforme **puede advertirse en su SdF**, las **primeras tres armónicas representativas** de la señal $x(t)$ **se encuentran determinadas por ω_0 , $3\omega_0$ y $5\omega_0$** (las componentes pares son nulas) mientras que la componente estable a_0 **es nula**. Como resultado de ello, la **Potencia Parcial P_p** resulta:

$$P_p = 0 + \frac{1}{2} \left\{ [0^2 + b_1^2] + [0^2 + b_3^2] + [0^2 + b_5^2] \right\}$$

$$P_p = 0 + \frac{1}{2} \left\{ \left[0^2 + \left(\frac{4}{\pi} \right)^2 \right] + \left[0^2 + \left(\frac{4}{3\pi} \right)^2 \right] + \left[0^2 + \left(\frac{4}{5\pi} \right)^2 \right] \right\} = \frac{8}{\pi^2} \left(1 + \frac{1}{9} + \frac{1}{25} \right) = 0,9331$$

por lo que el porcentaje correspondiente estará dado por:

$$P_{\%} = \frac{P_P}{P} 100\% = \frac{0,9331}{1} 100\% = 93,31\%$$

Las tres primeras armónicas **representan el 93% de la Potencia Total** de la señal $x(t)$

Unidad 5: Series de Fourier Aplicación en MatLab

Análisis de Señales y Sistemas R2041

```
%DISTRIBUCIÓN DE LA POTENCIA EN SdF
%Descripción de 1 período de x(t)
Ts=0.001;
T0=2;
w0=2*pi/T0;
t=-T0/2:Ts:(T0/2)-Ts;
xp=escalon(t)-2*escalon(t-1);
%Potencia Promedio en el dominio temporal
Pt=sum(abs(xp.^2))*Ts
%SdF de x(t) en 50 coeficientes no nulos
n=1:100;
bn=(2/pi)*(1-(-1).^n)./n;
%Potencia Promedio en el dominio frecuencial
Pn=sum((bn.^2)/2)
```

A partir de la descripción temporal de un período de $x(t)$ en MatLab/Octave, puede verificarse la distribución de la potencia promedio P en los coeficientes constitutivos de su SdF. Efectivamente, cada componente frecuencial de amplitud b_n aporta una potencia de $b_n^2/2$, de modo que el valor de P se obtiene al efectuar la sumatoria de la contribución de los infinitos coeficientes. En este caso particular se han considerado 50 componentes no nulas

$$x(t) = \frac{4}{\pi} \left[\text{sen}(\omega_0 t) + \frac{1}{3} \text{sen}(3\omega_0 t) + \frac{1}{5} \text{sen}(5\omega_0 t) + \dots \right]$$

Pt =

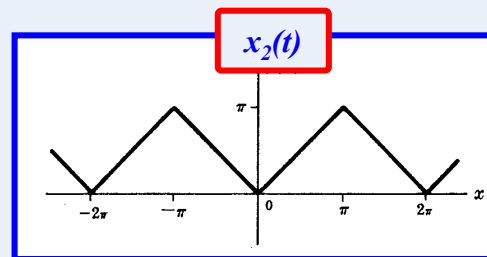
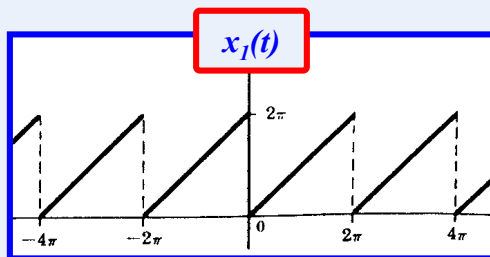
1

Pn =

0.9959

Consigna de la clase #C (30 minutos)

1. Cuantificar *analíticamente* el *porcentaje de la potencia total* que representan las *primeras tres armónicas* de las siguientes señales (incluyendo su componente estable). *Utilizar MatLab* para *sintetizar parcialmente* cada señal ($N=10$ armónicas) y compararla con la señal de origen.

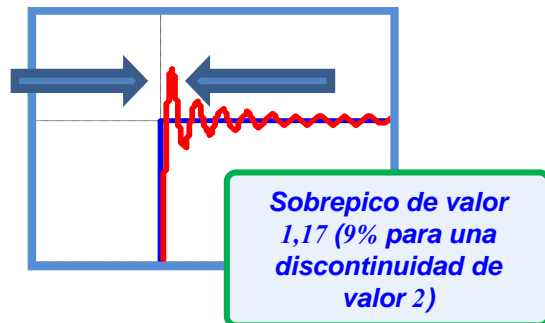


2. *¿Dónde se advierte la aparición del fenómeno de Gibbs en el punto anterior?* Cuantificar el *sobrepico* correspondiente a *partir del gráfico obtenido en MatLab* *¿Cómo se comporta al aumentar N ?*

CONDICIONES DE SUFICIENCIA DE LA SdF (DIRICHLET)

- (1) $x(t)$ debe tener un **número finito** de **discontinuidades** en un período
- (2) $x(t)$ debe tener un **número finito** de **máximos** y **mínimos** en un período
- (3) **ENERGÍA FINITA EN UN PERÍODO**

FENÓMENO DE GIBBS



SERIE ARMÓNICA DE FOURIER

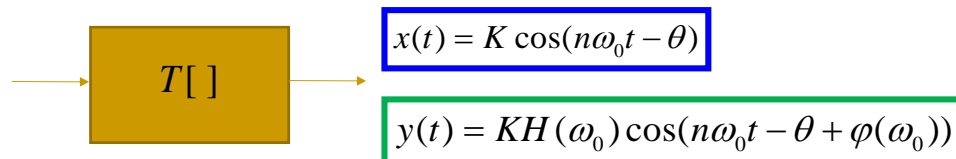
$$x(t) = K_0 + \sum_{n=1}^{\infty} K_n \cos(n\omega_0 t - \theta_n)$$

$$K_0 = a_0 / 2$$

$$K_n = \sqrt{a_n^2 + b_n^2}$$

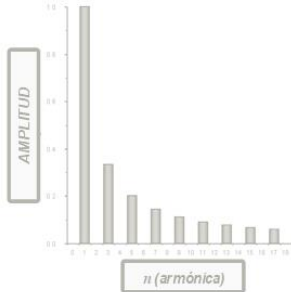
$$\theta_n = \arctan(b_n / a_n)$$

SISTEMAS LIT y SdF



TEOREMA DE PARSEVAL

$$\frac{1}{T_0} \int_{-T_0/2}^{T_0/2} |x(t)|^2 dt = \frac{1}{4} a_0^2 + \frac{1}{2} \sum_{n=1}^{\infty} (a_n^2 + b_n^2)$$



$$x(t) = \frac{a_0}{2} + \sum_{n=1}^{\infty} [a_n \cos(n\omega_0 t) + b_n \sin(n\omega_0 t)]$$



U5 Series de Fourier

¿CONSULTAS?

Foro Campus Virtual: Series de Fourier

